

OPTIKA

STATISZTIKUS OPTIKA – IDŐBELI KOHERENCIA

Budapesti Műszaki és Gazdaságtudományi Egyetem
Atomfizika Tanszék, dr. Erdei Gábor

„Ágazati felkészítés a hazai ELI projekttel összefüggő képzési és K+F feladatokra”

TÁMOP-4.1.1.C-12/1/KONV-2012-0005

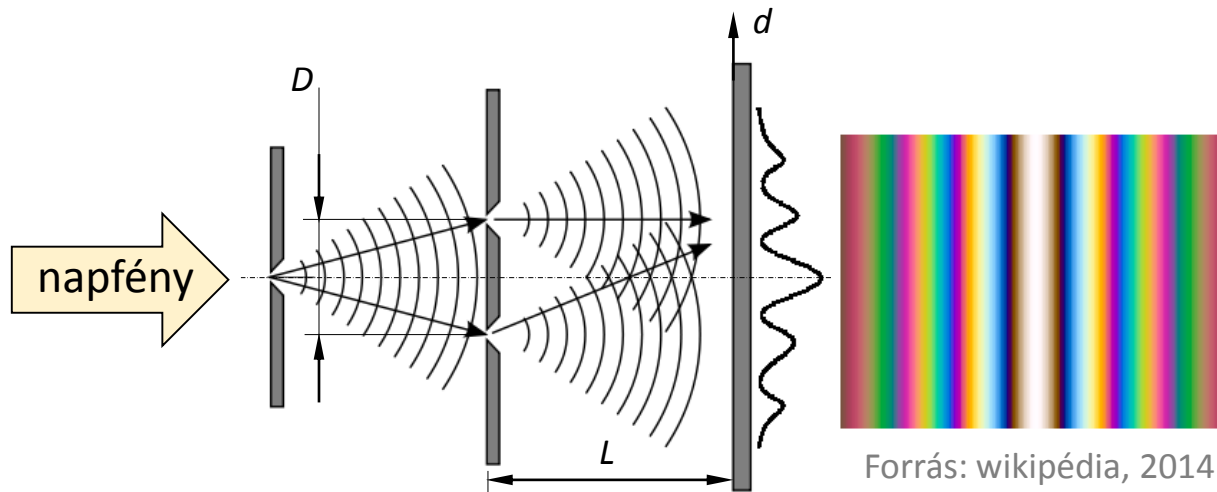


Nemzeti Fejlesztési Ügynökség
www.ujszechenyiterv.gov.hu
06 40 638 638

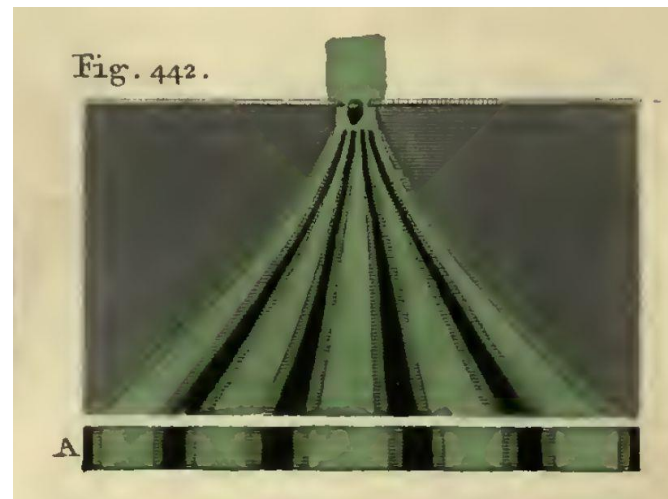


A projekt az Európai Unió támogatásával, az Európai Szociális Alap társfinanszírozásával valósul meg.

▪ Young-féle kétrézes interferométer ▪



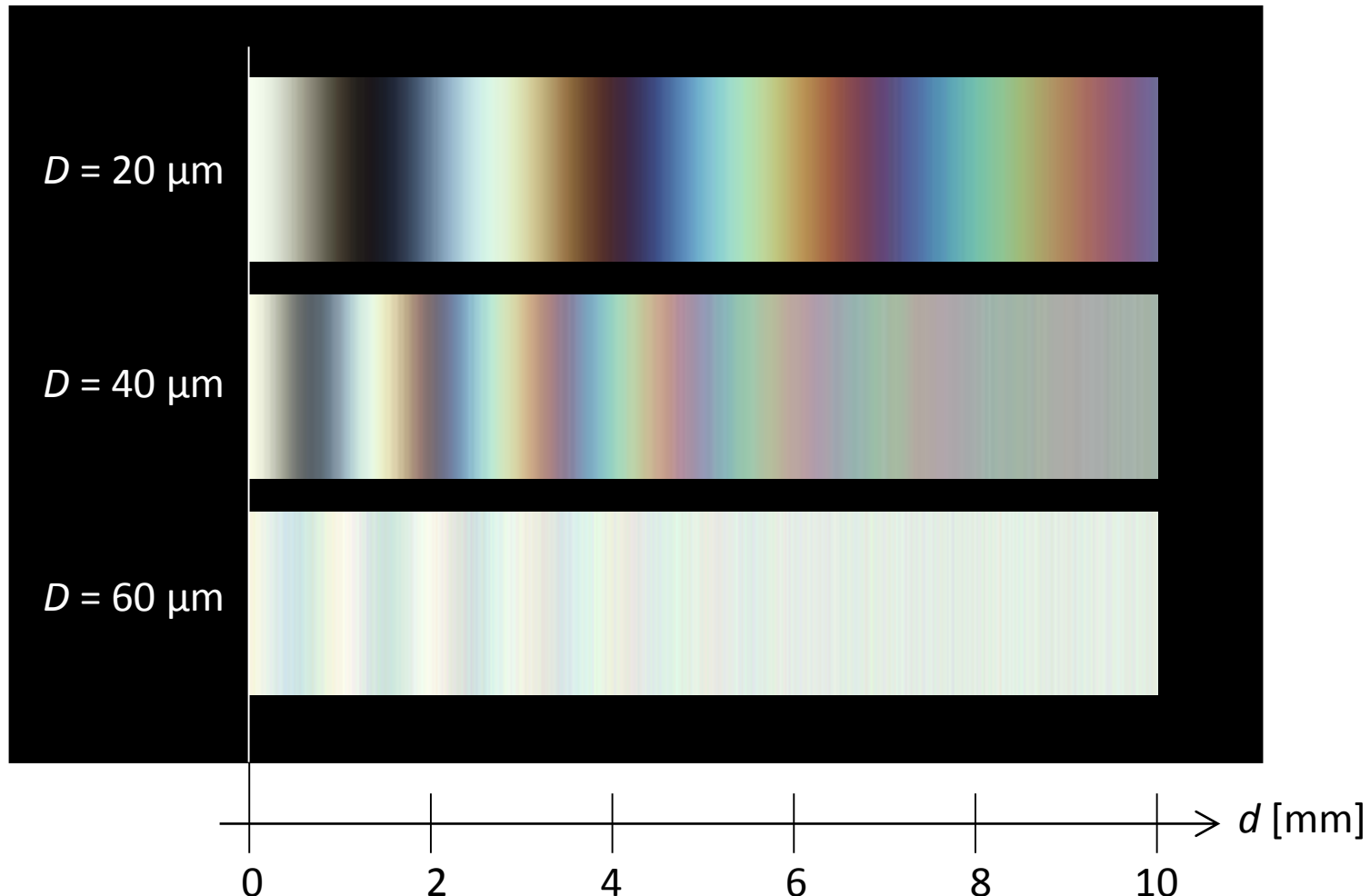
Forrás: wikipédia, 2014



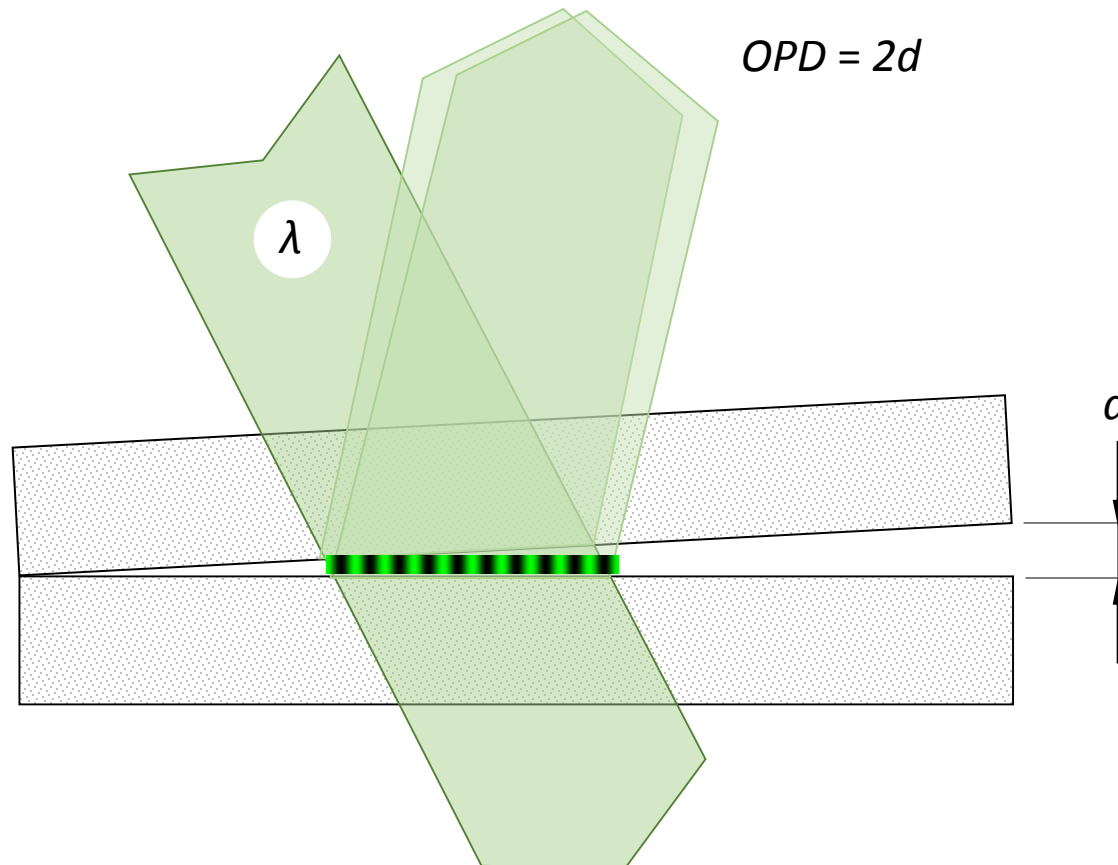
Forrás: T. Young, A Course of Lectures on Natural Philosophy and the Mechanical Arts, Vol. I, 1807

- Kétrézes interferencia szűretlen napfénnnyel ▪

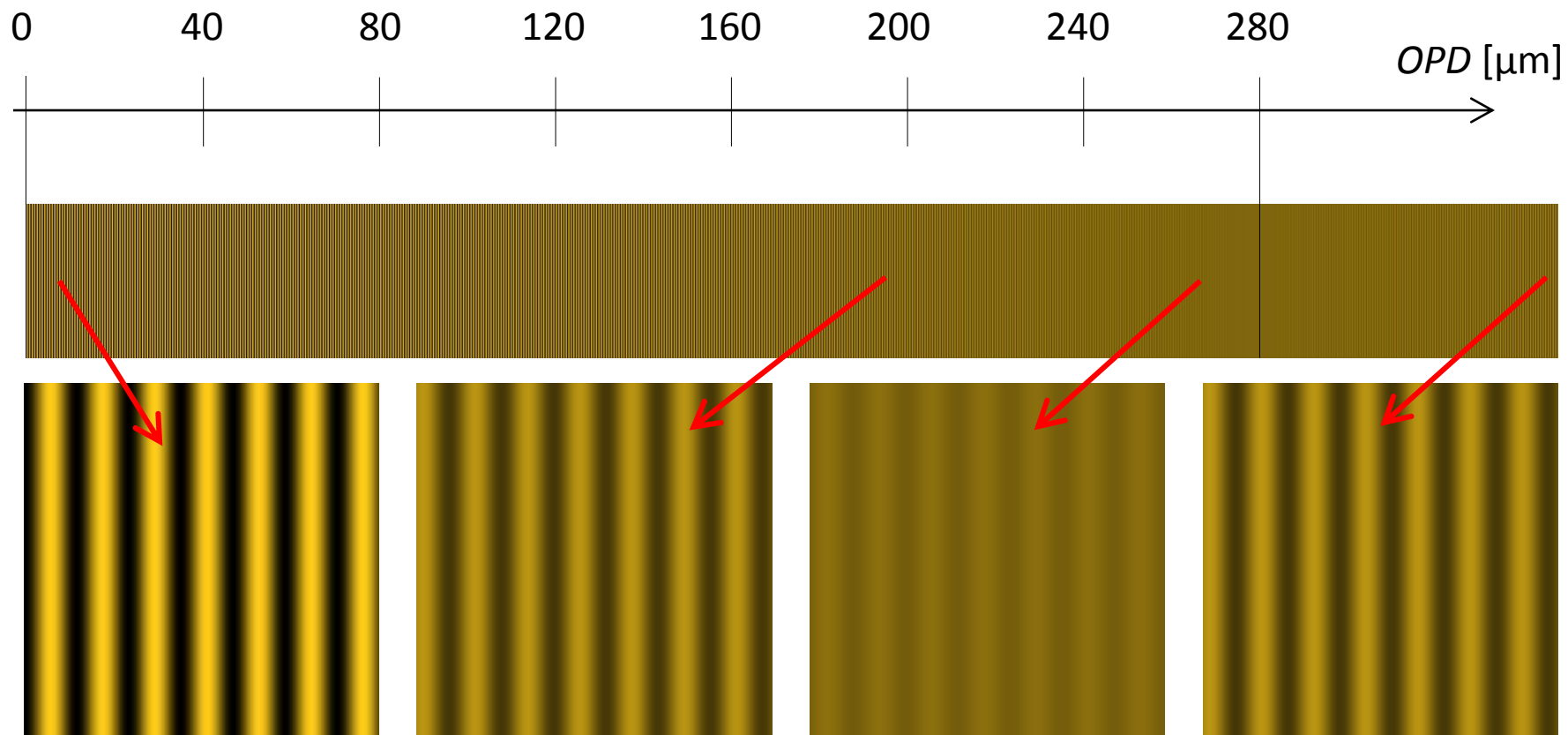
$L = 100 \text{ mm}$; $\lambda = 400..700 \text{ nm}$



▪ Fizeau-interferométer ▪



▪ Nátrium D-vonal interferenciája (Fizeau, 1862) ▪



$$\lambda_1 = 589,0 \text{ nm}$$

$$\lambda_2 = 589,6 \text{ nm}$$

a 492. csík körül
eltűnik a láthatóság

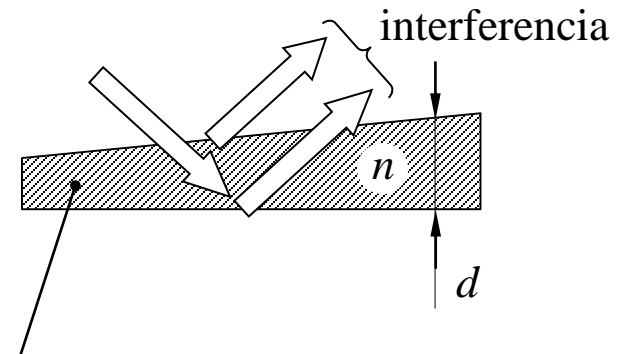
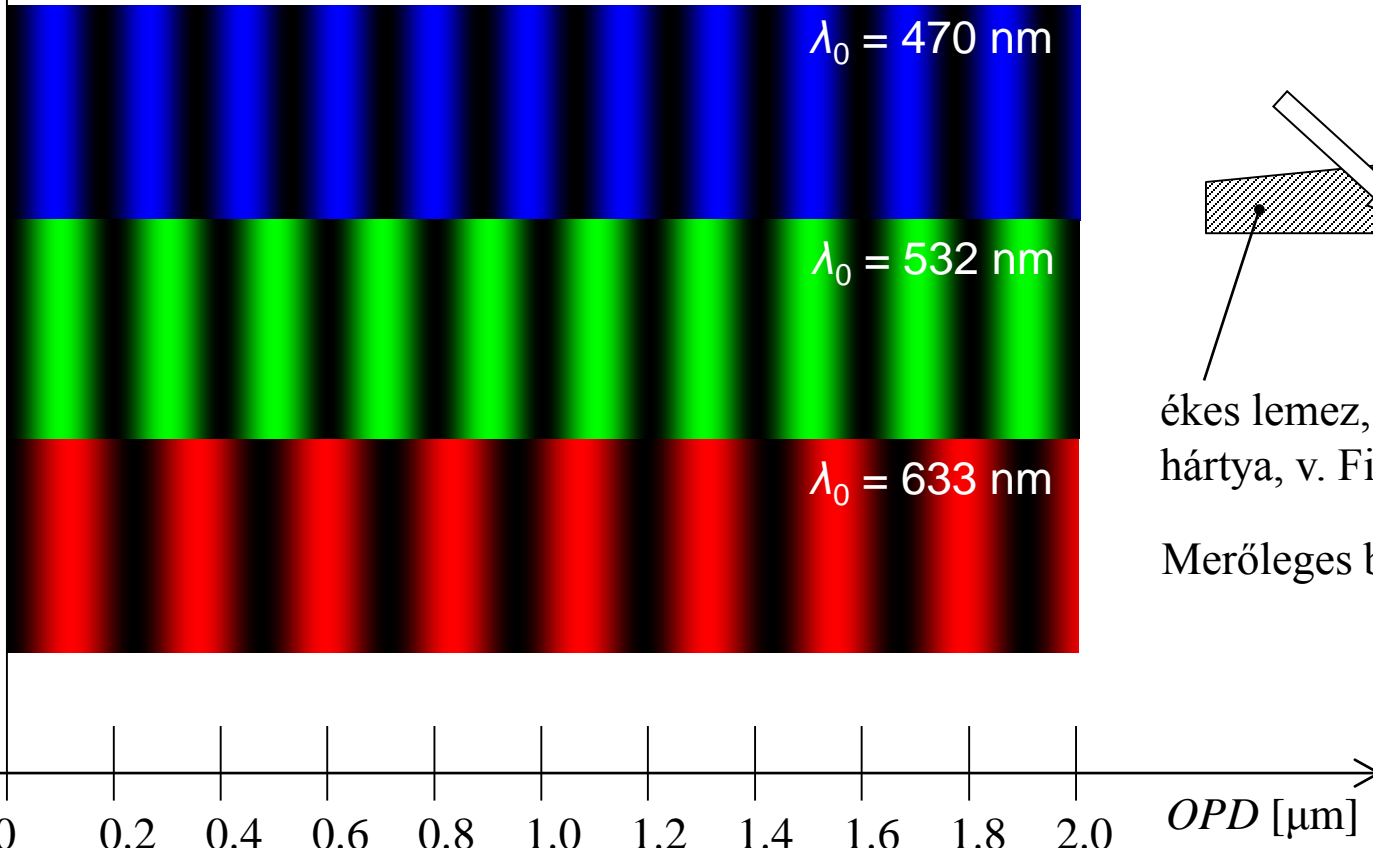
▪ Kétsugaras interferencia két hullámhosszon ▪

$$\begin{aligned}
 & (\mathbf{E}_1(\mathbf{r}, t) + \mathbf{E}_2(\mathbf{r}, t))^2 = \\
 & = A_1 A_1 \cos(\omega_1 t + \Phi_{a1}) \cdot \cos(\omega_1 t + \Phi_{a1}) + A_1 A_2 \cos(\omega_1 t + \Phi_{a1}) \cdot \cos(\omega_2 t + \Phi_{a2}) + A_1 B_1 \cos(\omega_1 t + \Phi_{a1}) \cdot \cos(\omega_1 t + \Phi_{b1}) + A_1 B_2 \cos(\omega_1 t + \Phi_{a1}) \cdot \cos(\omega_2 t + \Phi_{b2}) + \\
 & + A_2 A_1 \cos(\omega_2 t + \Phi_{a2}) \cdot \cos(\omega_1 t + \Phi_{a1}) + A_2 A_2 \cos(\omega_2 t + \Phi_{a2}) \cdot \cos(\omega_2 t + \Phi_{a2}) + A_2 B_1 \cos(\omega_2 t + \Phi_{a2}) \cdot \cos(\omega_1 t + \Phi_{b1}) + A_2 B_2 \cos(\omega_2 t + \Phi_{a2}) \cdot \cos(\omega_2 t + \Phi_{b2}) + \\
 & + B_1 A_1 \cos(\omega_1 t + \Phi_{b1}) \cdot \cos(\omega_1 t + \Phi_{a1}) + B_1 A_2 \cos(\omega_1 t + \Phi_{b1}) \cdot \cos(\omega_2 t + \Phi_{a2}) + B_1 B_1 \cos(\omega_1 t + \Phi_{b1}) \cdot \cos(\omega_1 t + \Phi_{b1}) + B_1 B_2 \cos(\omega_1 t + \Phi_{b1}) \cdot \cos(\omega_2 t + \Phi_{b2}) + \\
 & + B_2 A_1 \cos(\omega_2 t + \Phi_{b2}) \cdot \cos(\omega_1 t + \Phi_{a1}) + B_2 A_2 \cos(\omega_2 t + \Phi_{b2}) \cdot \cos(\omega_2 t + \Phi_{a2}) + B_2 B_1 \cos(\omega_2 t + \Phi_{b2}) \cdot \cos(\omega_1 t + \Phi_{b1}) + B_2 B_2 \cos(\omega_2 t + \Phi_{b2}) \cdot \cos(\omega_2 t + \Phi_{b2})
 \end{aligned}$$

$$\begin{aligned}
 & \langle (\mathbf{E}_1(\mathbf{r}, t) + \mathbf{E}_2(\mathbf{r}, t))^2 \rangle = \\
 & = \frac{A_1 A_1}{2} + \frac{A_1 A_2}{2} \cos((\omega_1 - \omega_2)t + \Phi_{a1} - \Phi_{a2}) + \frac{A_1 B_1}{2} \cos((\omega_1 - \omega_1)t + \Phi_{a1} - \Phi_{b1}) + \frac{A_1 B_2}{2} \cos((\omega_1 - \omega_2)t + \Phi_{a1} - \Phi_{b2}) + \\
 & + \frac{A_2 A_1}{2} \cos((\omega_2 - \omega_1)t + \Phi_{a2} - \Phi_{a1}) + \frac{A_2 A_2}{2} + \frac{A_2 B_1}{2} \cos((\omega_2 - \omega_1)t + \Phi_{a2} - \Phi_{b1}) + \frac{A_2 B_2}{2} \cos((\omega_2 - \omega_2)t + \Phi_{a2} - \Phi_{b2}) + \\
 & + \frac{B_1 A_1}{2} \cos((\omega_1 - \omega_1)t + \Phi_{b1} - \Phi_{a1}) + \frac{B_1 A_2}{2} \cos((\omega_1 - \omega_2)t + \Phi_{b1} - \Phi_{a2}) + \frac{B_1 B_1}{2} + \frac{B_1 B_2}{2} \cos((\omega_1 - \omega_2)t + \Phi_{b1} - \Phi_{b2}) + \\
 & + \frac{B_2 A_1}{2} \cos((\omega_2 - \omega_1)t + \Phi_{b2} - \Phi_{a1}) + \frac{B_2 A_2}{2} \cos((\omega_2 - \omega_2)t + \Phi_{b2} - \Phi_{a2}) + \frac{B_2 B_1}{2} \cos((\omega_2 - \omega_1)t + \Phi_{b2} - \Phi_{b1}) + \frac{B_2 B_2}{2}
 \end{aligned}$$

$$\begin{aligned}
 & \left\langle (E_1(\mathbf{r}, t) + E_2(\mathbf{r}, t))^2 \right\rangle = \\
 &= \frac{A_1 A_1}{2} + \frac{A_2 A_2}{2} + \frac{B_1 B_1}{2} + \frac{B_2 B_2}{2} + \\
 &+ \frac{A_1 B_1}{2} \cos(\Phi_{a1} - \Phi_{b1}) + \frac{A_2 B_2}{2} \cos(\Phi_{a2} - \Phi_{b2}) + \frac{B_1 A_1}{2} \cos(\Phi_{b1} - \Phi_{a1}) + \frac{B_2 A_2}{2} \cos(\Phi_{b2} - \Phi_{a2}) + \\
 &+ \frac{A_1 A_2}{2} \cos((\omega_1 - \omega_2)t + \Phi_{a1} - \Phi_{a2}) + \frac{A_1 B_2}{2} \cos((\omega_1 - \omega_2)t + \Phi_{a1} - \Phi_{b2}) + \\
 &+ \frac{A_2 A_1}{2} \cos((\omega_2 - \omega_1)t + \Phi_{a2} - \Phi_{a1}) + \frac{A_2 B_1}{2} \cos((\omega_2 - \omega_1)t + \Phi_{a2} - \Phi_{b1}) + \\
 &+ \frac{B_1 A_2}{2} \cos((\omega_1 - \omega_2)t + \Phi_{b1} - \Phi_{a2}) + \frac{B_1 B_2}{2} \cos((\omega_1 - \omega_2)t + \Phi_{b1} - \Phi_{b2}) + \\
 &+ \frac{B_2 A_1}{2} \cos((\omega_2 - \omega_1)t + \Phi_{b2} - \Phi_{a1}) + \frac{B_2 B_1}{2} \cos((\omega_2 - \omega_1)t + \Phi_{b2} - \Phi_{b1})
 \end{aligned}$$

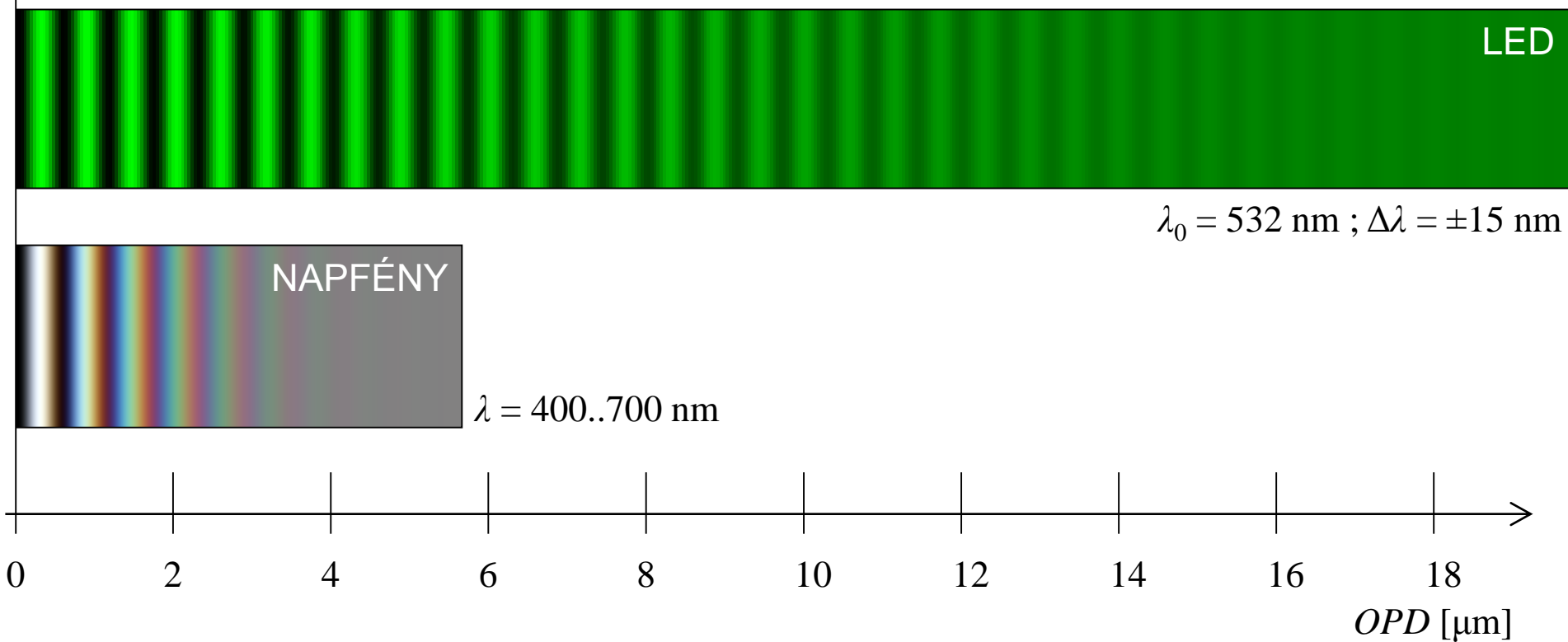
▪ Diszkrét hullámhosszak interferenciája ▪



ékes lemez, pl. szappan-buborék
hártya, v. Fizeau-interferométer

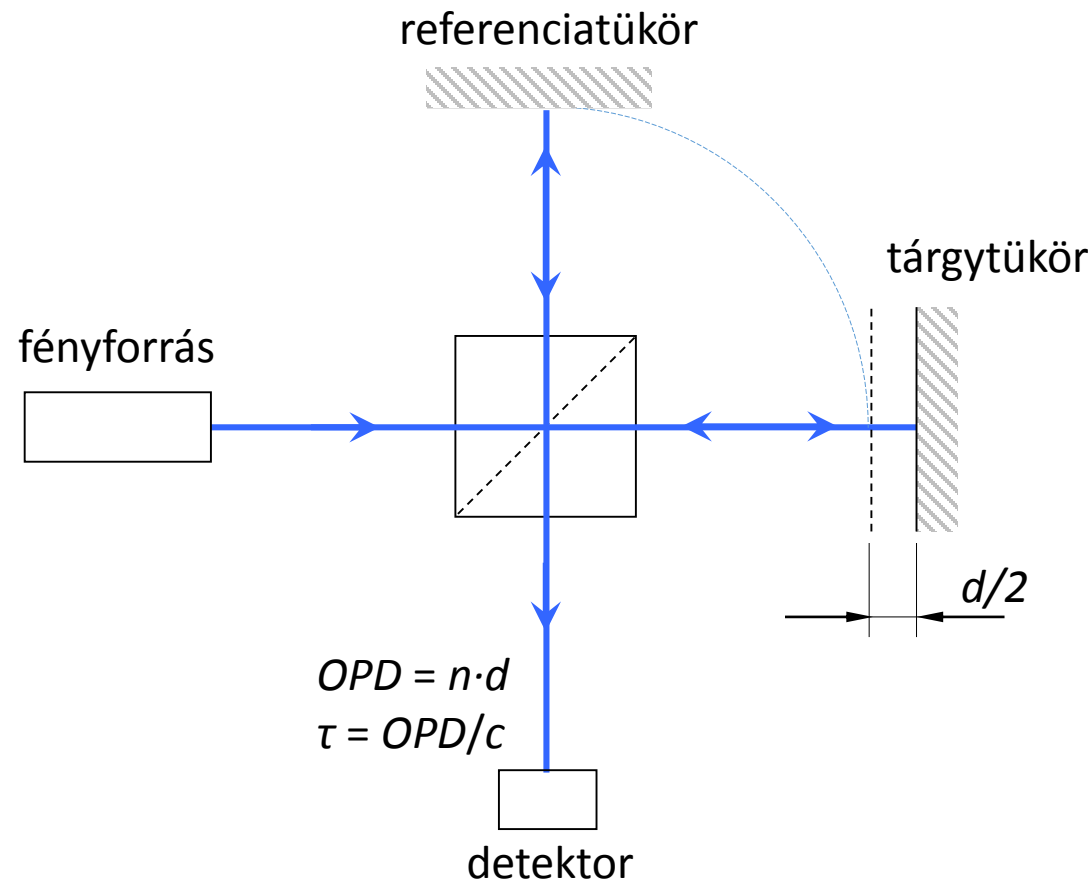
Merőleges beesésnél: $OPD = n \cdot 2d$

▪ Folytonos spektrumú hullámok interferenciája ▪

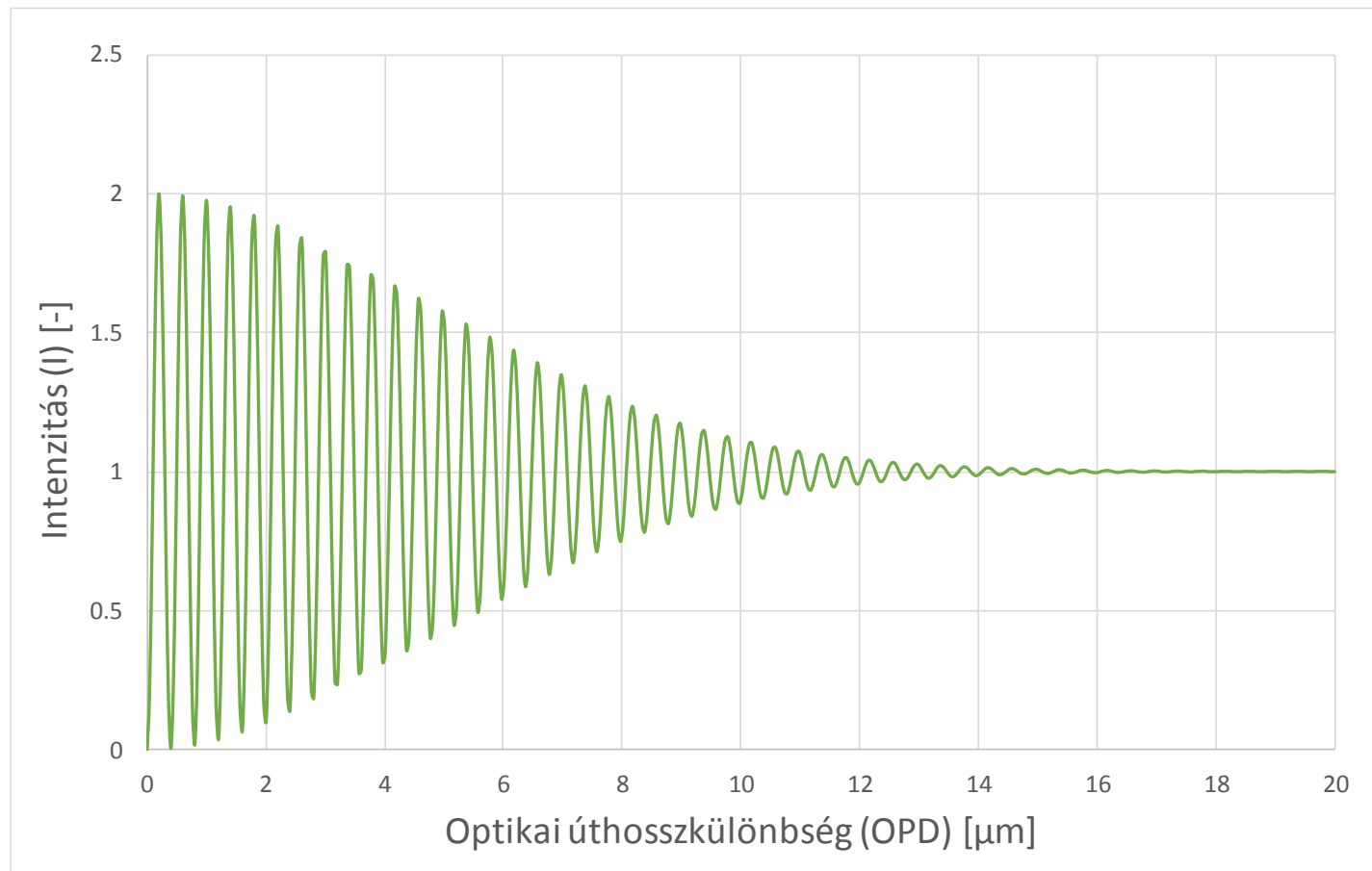


Ahol a láthatóság eltűnik: $OPD = n \cdot l_L$

- Michelson- (Twyman-Green) interferométer, 1880 ▪

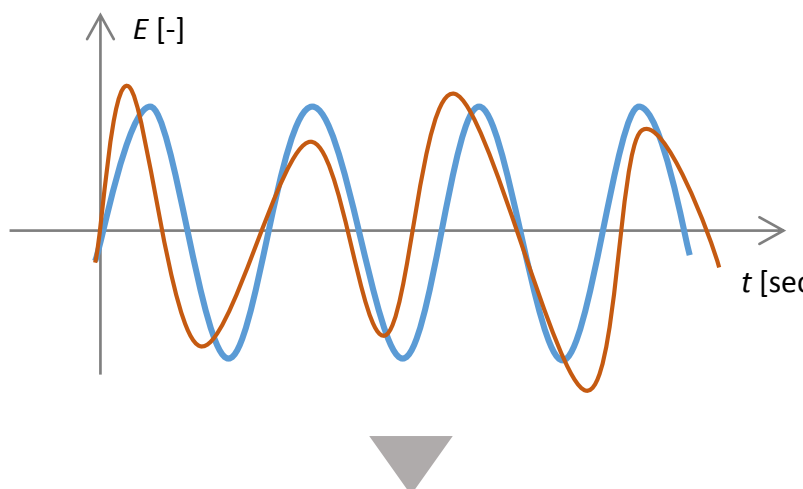


▪ Zöld LED interferogrammja ▪

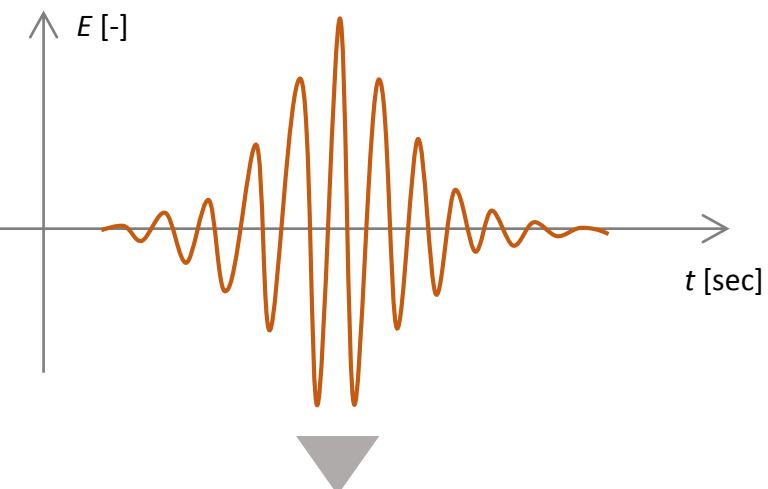


▪ A koherencia fogalma (Laue, 1907) ▪

- A lineáris rendszerek sajátfüggvényei: harmonikus (szinuszos) függvények
- Az ideális periodicitástól való eltérés tulajdonsága: koherencia
- A koherencia fokai: koherens, részlegesen koherens és inkoherens rezgés
- Részleges koherencia okai: nem teljesen harmonikus hullám, véges impulzus
- A koherencia fajtái: időbeli és térbeli koherencia, polarizációs koherencia
- Értelmezés: a rezgést két eltérő térbeli pontban vagy időpillanatban vizsgálva a fázisállapotok mennyire vannak összhangban (mennyire koherensek)
- Időbeli koherencia: a tér egy pontjában vizsgáljuk a rezgés időbeli viselkedését

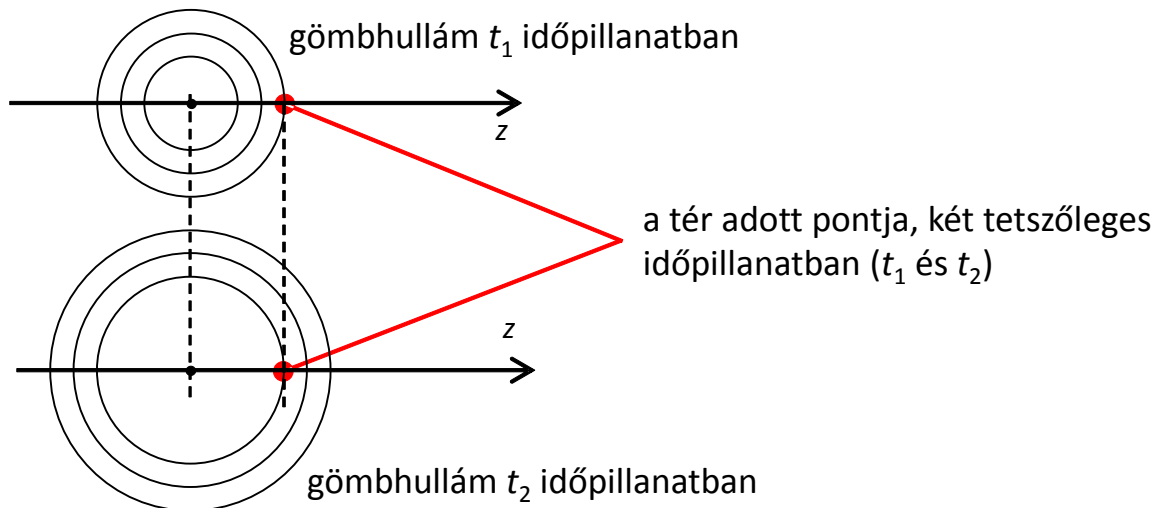


statisztikus optika



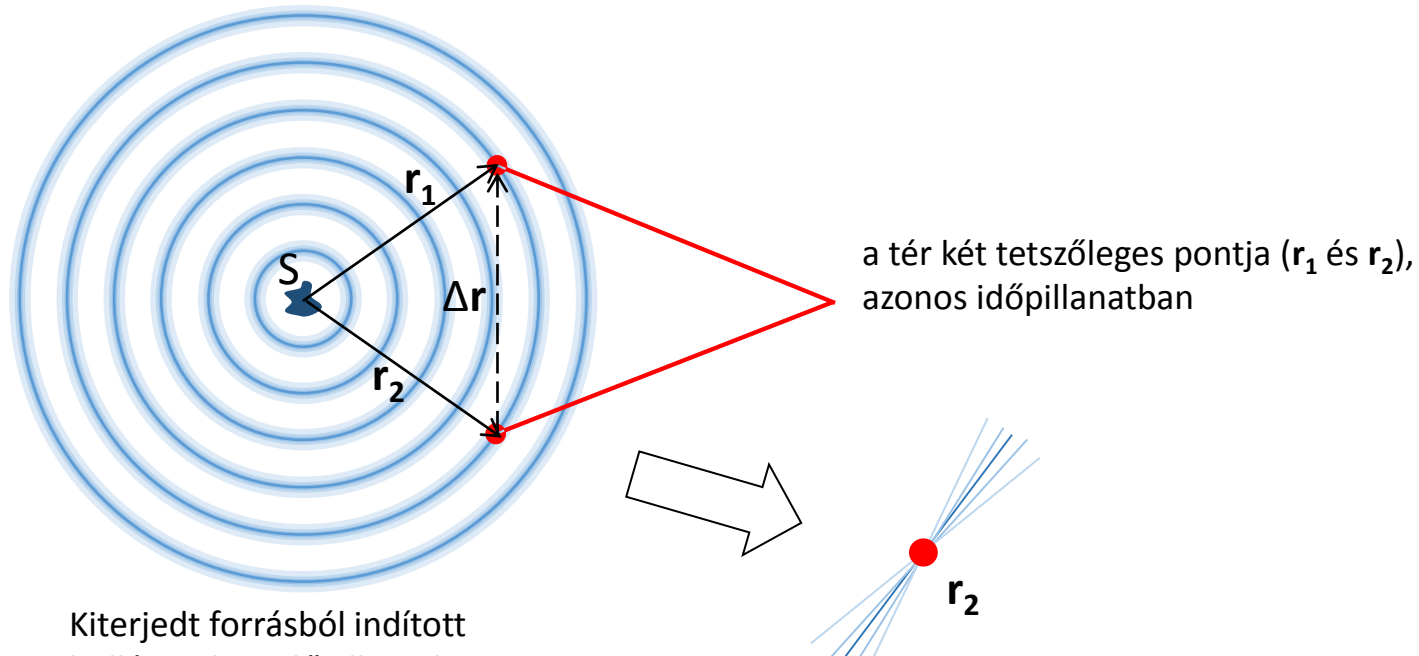
ultrarövid impulzusok elmélete

▪ Időbeli koherencia vizsgálata ▪



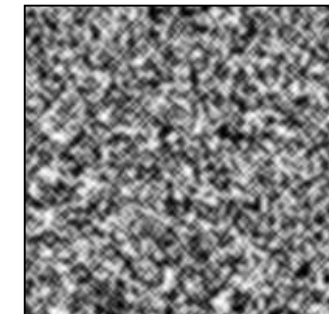
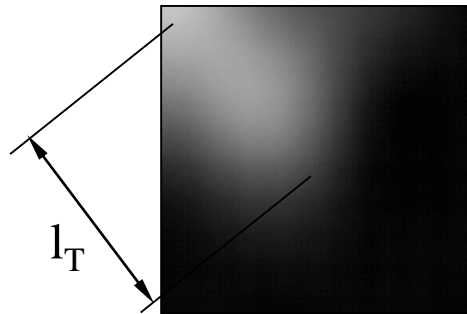
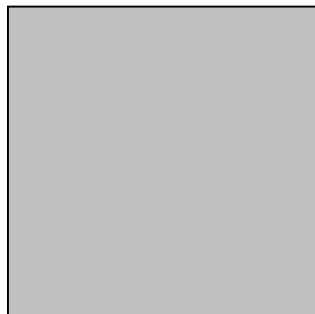
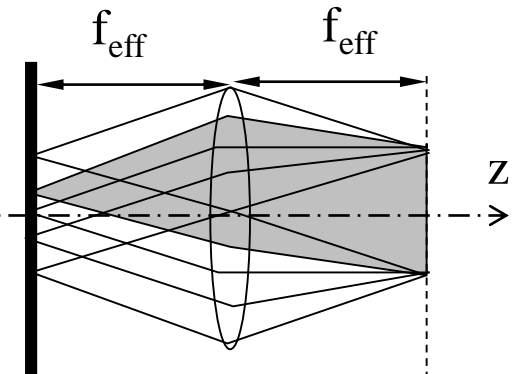
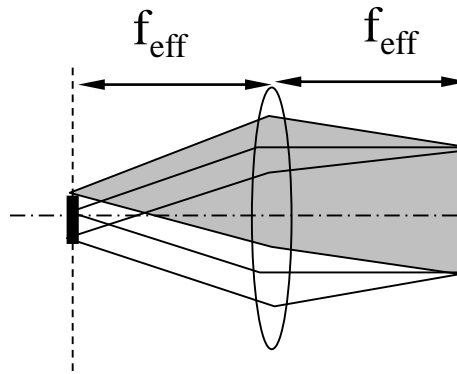
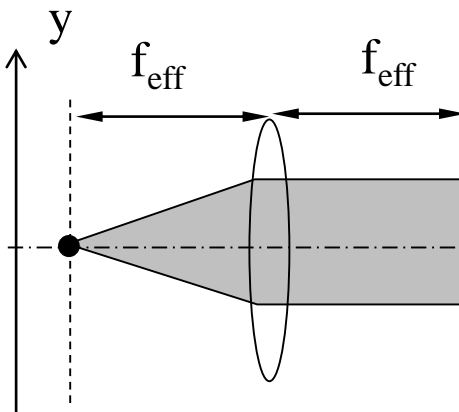
Ahhoz, hogy két különböző időpillanatban vizsgálhassuk a rezgést, két komponensre kell osztanunk, és az egyik komponenst késleltetnünk kell $\Delta t = t_2 - t_1$ időtartammal.

▪ Térbeli koherencia vizsgálata ▪



Az „S” forrásból az r_2 ponton áthaladó hullámfrontok

▪ Térbeli koherencia szabályozása ▪

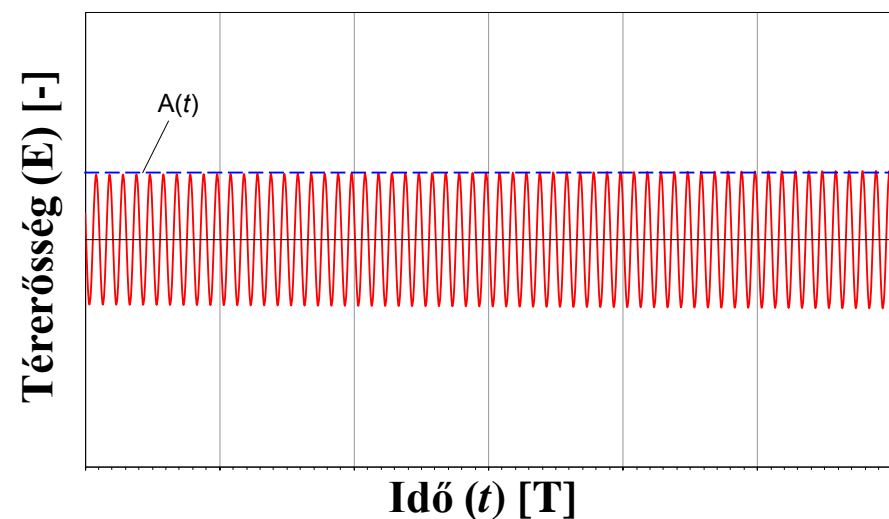
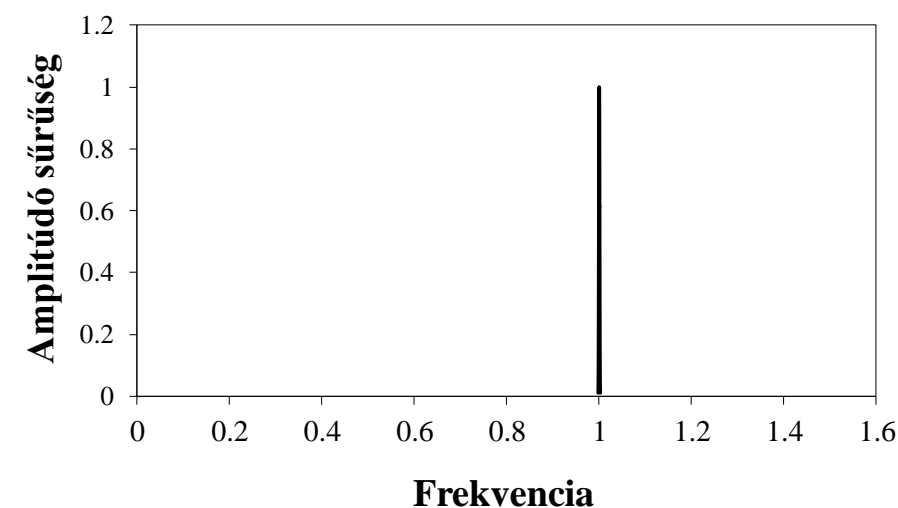


koherens eset:
pontforrás
 $|E| \approx \text{const. } (l_T \gg \lambda)$

részlegesen koherens eset:
kisméretű kiterjedt forrás
 $|E| \text{ lassan változik } (l_T > \lambda)$

inkoherens eset:
diffúz forrás
 $|E| \text{ gyorsan változik } (l_T \approx \lambda)$

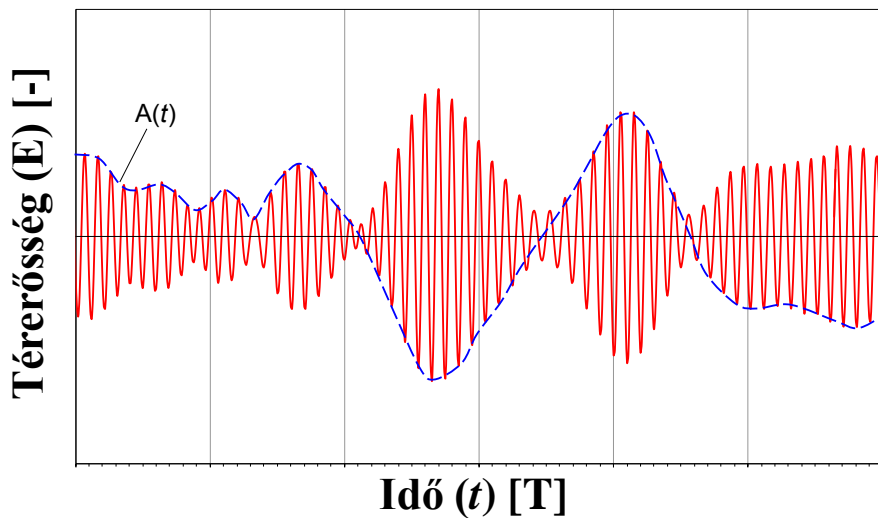
▪ Determinisztikus (harmonikus) rezgés ▪



▪ Indeterminisztikus rezgések fajtái ▪

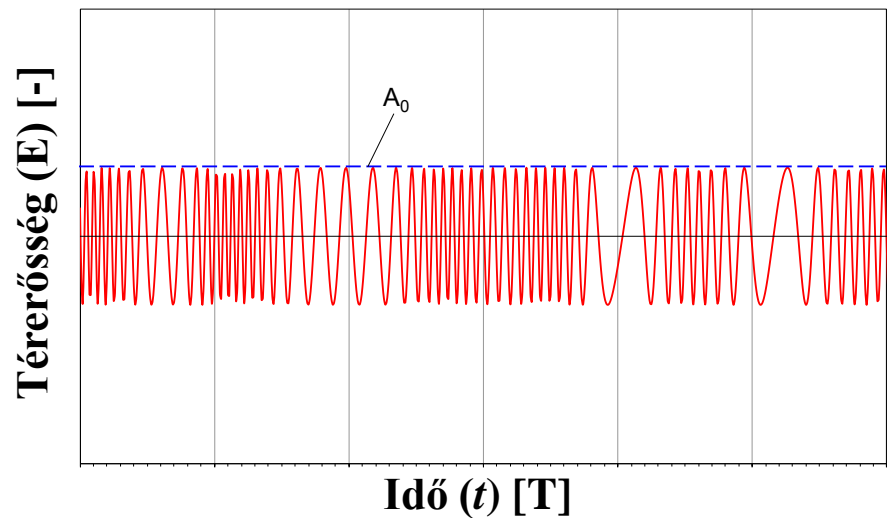
$$E(t) = A(t) \cdot \cos(\omega t + \varphi(t))$$

$$E(t) = A(t) \cdot \cos(\omega t + \varphi_0)$$



Tipikus látható fénysugárzás

$$E(t) = A_0 \cdot \cos(\omega t + \varphi(t))$$

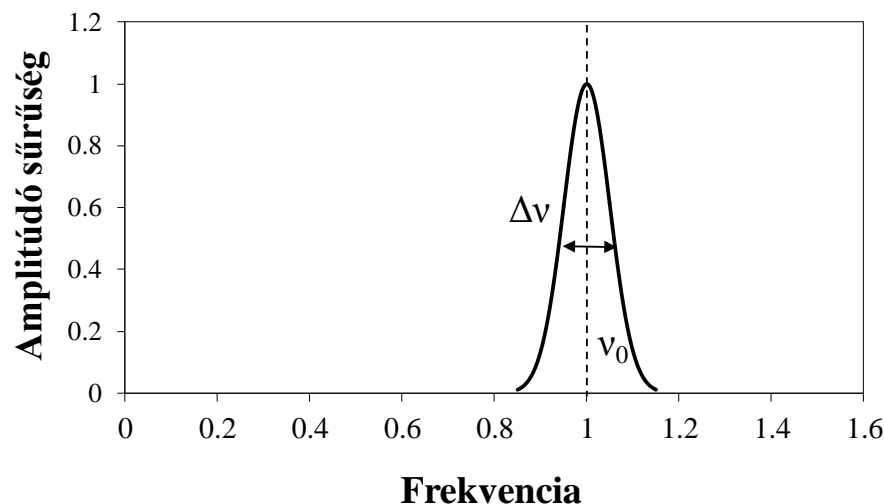


Egymódusú lézerek, FM-modulált rádióhullámok

▪ Részlegesen koherens rezgés ▪

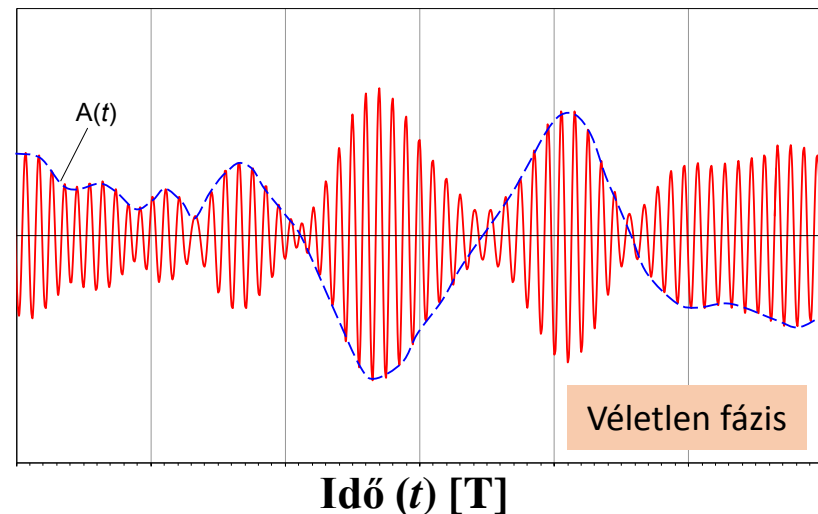
Kvázimonokromatikus eset $\Delta\nu \ll \nu_0$

Normális eloszlás

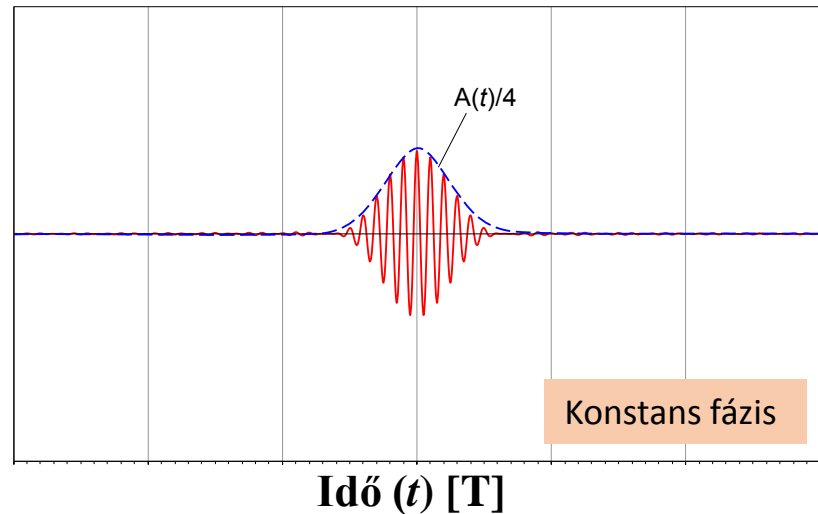


$$\Delta\nu = 2\sigma = \nu_0/10$$

Térerősség (E) [-]

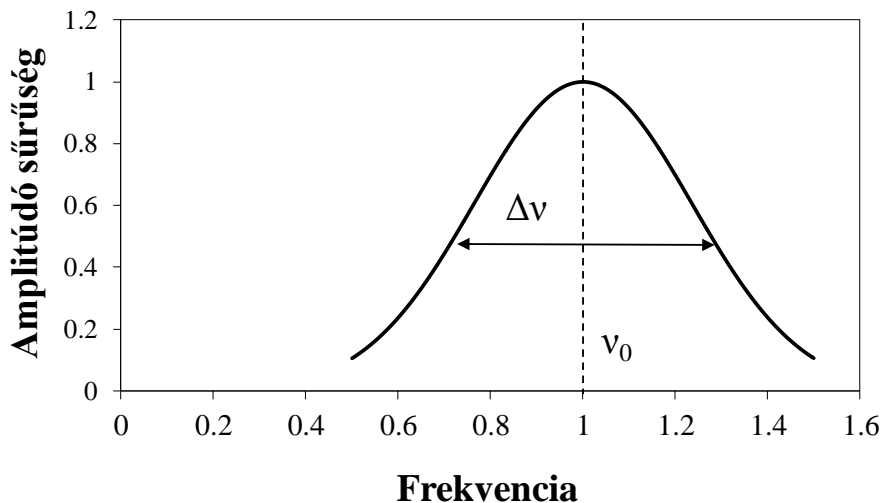


Térerősség (E) [-]



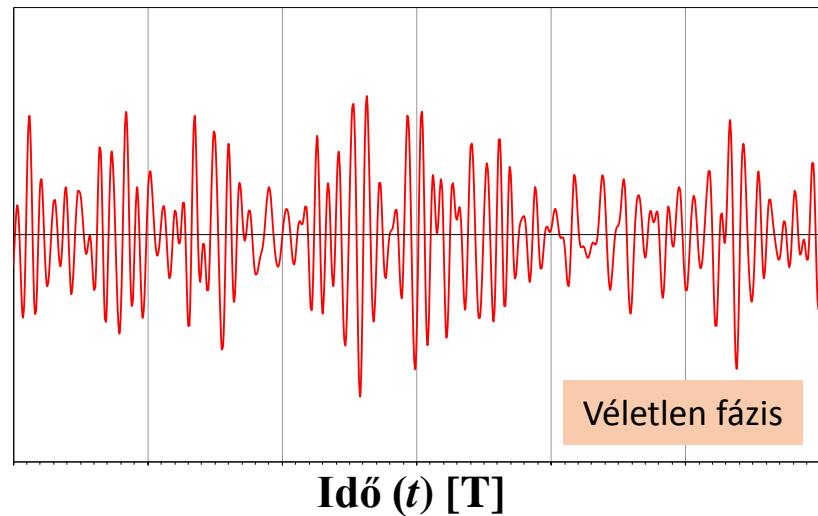
Inkoherens eset $\Delta\nu \gg \nu_0$

Normális eloszlás



$$\Delta\nu = 2\sigma = \nu_0/2$$

Térerősség (E) [-]



Térerősség (E) [-]

